

OpenCourseWare

Teoría de Estructuras y Construcciones Industriales

Carlos Santiuste Romero, Sara Garzón Hernández, Liu Jiao Wang,
Manuel Cuadrado Sanguino, Luis Jiménez Girón, Daniel Herrero Adán

CTE: Dimensionado de barras a flexocompresión



Apartado 6.3.4.2. DB-SE-A

$$\frac{N_{Ed}}{\chi_y \cdot A^* \cdot f_{yd}} + k_y \cdot \frac{c_{m,y} \cdot M_{y,Ed} + e_{N,y} \cdot N_{Ed}}{\chi_{LT} W_y \cdot f_{yd}} + \alpha_z \cdot k_z \cdot \frac{c_{m,z} \cdot M_{z,Ed} + e_{N,z} \cdot N_{Ed}}{W_z \cdot f_{yd}} \leq 1 \quad (6.51)$$

Además, sólo en piezas no susceptibles de pandeo por torsión

$$\frac{N_{Ed}}{\chi_z \cdot A^* \cdot f_{yd}} + \alpha_y \cdot k_y \cdot \frac{c_{m,y} \cdot M_{y,Ed} + e_{N,y} \cdot N_{Ed}}{W_y \cdot f_{yd}} + k_z \cdot \frac{c_{m,z} \cdot M_{z,Ed} + e_{N,z} \cdot N_{Ed}}{W_z \cdot f_{yd}} \leq 1 \quad (6.52)$$

Además, sólo en piezas susceptibles de pandeo por torsión

$$\frac{N_{Ed}}{\chi_z \cdot A^* \cdot f_{yd}} + k_{yLT} \cdot \frac{M_{y,Ed} + e_{N,y} \cdot N_{Ed}}{\chi_{LT} W_y \cdot f_{yd}} + k_z \cdot \frac{c_{m,z} \cdot M_{z,Ed} + e_{N,z} \cdot N_{Ed}}{W_z \cdot f_{yd}} \leq 1 \quad (6.53)$$

Apartado 6.3.4.2. DB-SE-A

$$\frac{N_{Ed}}{\chi_y \cdot A^* \cdot f_{yd}} + k_y \cdot \frac{c_{m,y} \cdot M_{y,Ed} + e_{N,y} \cdot N_{Ed}}{\chi_{LT} W_y \cdot f_{yd}} + \alpha_z \cdot k_z \cdot \frac{c_{m,z} \cdot M_{z,Ed} + e_{N,z} \cdot N_{Ed}}{W_z \cdot f_{yd}} \leq 1 \quad (6.51)$$

Además, sólo en piezas no susceptibles de pandeo por torsión

$$\frac{N_{Ed}}{\chi_z \cdot A^* \cdot f_{yd}} + \alpha_y \cdot k_y \cdot \frac{c_{m,y} \cdot M_{y,Ed} + e_{N,y} \cdot N_{Ed}}{W_y \cdot f_{yd}} + k_z \cdot \frac{c_{m,z} \cdot M_{z,Ed} + e_{N,z} \cdot N_{Ed}}{W_z \cdot f_{yd}} \leq 1 \quad (6.52)$$

Además, sólo en piezas susceptibles de pandeo por torsión

$$\frac{N_{Ed}}{\chi_z \cdot A^* \cdot f_{yd}} + k_{yLT} \cdot \frac{M_{y,Ed} + e_{N,y} \cdot N_{Ed}}{\chi_{LT} W_y \cdot f_{yd}} + k_z \cdot \frac{c_{m,z} \cdot M_{z,Ed} + e_{N,z} \cdot N_{Ed}}{W_z \cdot f_{yd}} \leq 1 \quad (6.53)$$

Apartado 6.3.4.2. DB-SE-A

$$\frac{N_{Ed}}{\chi_y \cdot A^* \cdot f_{yd}} + k_y \cdot \frac{c_{m,y} \cdot M_{y,Ed} + e_{N,y} \cdot N_{Ed}}{\chi_{LT} W_y \cdot f_{yd}} + \alpha_z \cdot k_z \cdot \frac{c_{m,z} \cdot M_{z,Ed} + e_{N,z} \cdot N_{Ed}}{W_z \cdot f_{yd}} \leq 1 \quad (6.51)$$

Además, sólo en piezas no susceptibles de pandeo por torsión

$$\frac{N_{Ed}}{\chi_z \cdot A^* \cdot f_{yd}} + \alpha_y \cdot k_y \cdot \frac{c_{m,y} \cdot M_{y,Ed} + e_{N,y} \cdot N_{Ed}}{W_y \cdot f_{yd}} + k_z \cdot \frac{c_{m,z} \cdot M_{z,Ed} + e_{N,z} \cdot N_{Ed}}{W_z \cdot f_{yd}} \leq 1 \quad (6.52)$$

Además, sólo en piezas susceptibles de pandeo por torsión

$$\frac{N_{Ed}}{\chi_z \cdot A^* \cdot f_{yd}} + k_{yLT} \cdot \frac{M_{y,Ed} + e_{N,y} \cdot N_{Ed}}{\chi_{LT} W_y \cdot f_{yd}} + k_z \cdot \frac{c_{m,z} \cdot M_{z,Ed} + e_{N,z} \cdot N_{Ed}}{W_z \cdot f_{yd}} \leq 1 \quad (6.53)$$

Apartado 6.3.4.2. DB-SE-A

$$\frac{N_{Ed}}{\chi_y \cdot A^* \cdot f_{yd}} + k_y \cdot \frac{c_{m,y} \cdot M_{y,Ed} + e_{N,y} \cdot N_{Ed}}{\chi_{LT} W_y \cdot f_{yd}} + \alpha_z \cdot k_z \cdot \frac{c_{m,z} \cdot M_{z,Ed} + e_{N,z} \cdot N_{Ed}}{W_z \cdot f_{yd}} \leq 1 \quad (6.51)$$

Además, sólo en piezas no susceptibles de pandeo por torsión

$$\frac{N_{Ed}}{\chi_z \cdot A^* \cdot f_{yd}} + \alpha_y \cdot k_y \cdot \frac{c_{m,y} \cdot M_{y,Ed} + e_{N,y} \cdot N_{Ed}}{W_y \cdot f_{yd}} + k_z \cdot \frac{c_{m,z} \cdot M_{z,Ed} + e_{N,z} \cdot N_{Ed}}{W_z \cdot f_{yd}} \leq 1 \quad (6.52)$$

Además, sólo en piezas susceptibles de pandeo por torsión

$$\frac{N_{Ed}}{\chi_z \cdot A^* \cdot f_{yd}} + k_{yLT} \cdot \frac{M_{y,Ed} + e_{N,y} \cdot N_{Ed}}{\chi_{LT} W_y \cdot f_{yd}} + k_z \cdot \frac{c_{m,z} \cdot M_{z,Ed} + e_{N,z} \cdot N_{Ed}}{W_z \cdot f_{yd}} \leq 1 \quad (6.53)$$

Apartado 6.3.4.2. DB-SE-A

$$\frac{N_{Ed}}{\chi_y \cdot A^* \cdot f_{yd}} + k_y \cdot \frac{c_{m,y} \cdot M_{y,Ed} + e_{N,y} \cdot N_{Ed}}{\chi_{LT} W_y \cdot f_{yd}} + \alpha_z \cdot k_z \cdot \frac{c_{m,z} \cdot M_{z,Ed} + e_{N,z} \cdot N_{Ed}}{W_z \cdot f_{yd}} \leq 1 \quad (6.51)$$

Además, sólo en piezas no susceptibles de pandeo por torsión

$$\frac{N_{Ed}}{\chi_z \cdot A^* \cdot f_{yd}} + \alpha_y \cdot k_y \cdot \frac{c_{m,y} \cdot M_{y,Ed} + e_{N,y} \cdot N_{Ed}}{W_y \cdot f_{yd}} + k_z \cdot \frac{c_{m,z} \cdot M_{z,Ed} + e_{N,z} \cdot N_{Ed}}{W_z \cdot f_{yd}} \leq 1 \quad (6.52)$$

Apartado 6.3.4.2. DB-SE-A

$$\frac{N_{Ed}}{\chi_y \cdot A^* \cdot f_{yd}} + k_y \cdot \frac{c_{m,y} \cdot M_{y,Ed} + e_{N,y} \cdot N_{Ed}}{\chi_{LT} W_y \cdot f_{yd}} + \alpha_z \cdot k_z \cdot \frac{c_{m,z} \cdot M_{z,Ed} + e_{N,z} \cdot N_{Ed}}{W_z \cdot f_{yd}} \leq 1 \quad (6.51)$$

Además, sólo en piezas no susceptibles de pandeo por torsión

$$\frac{N_{Ed}}{\chi_z \cdot A^* \cdot f_{yd}} + \alpha_y \cdot k_y \cdot \frac{c_{m,y} \cdot M_{y,Ed} + e_{N,y} \cdot N_{Ed}}{W_y \cdot f_{yd}} + k_z \cdot \frac{c_{m,z} \cdot M_{z,Ed} + e_{N,z} \cdot N_{Ed}}{W_z \cdot f_{yd}} \leq 1 \quad (6.52)$$

Apartado 6.3.4.2. DB-SE-A

$$\frac{N_{Ed}}{\chi_y \cdot A^* \cdot f_{yd}} + k_y \cdot \frac{c_{m,y} \cdot M_{y,Ed} + e_{N,y} \cdot N_{Ed}}{\chi_{LT} W_y \cdot f_{yd}} + \alpha_z \cdot \frac{c_{m,z} \cdot M_{z,Ed} + e_{N,z} \cdot N_{Ed}}{W_z \cdot f_{yd}} \leq 1 \quad (6.51)$$

Además, sólo en piezas no susceptibles de pandeo por torsión

$$\frac{N_{Ed}}{\chi_z \cdot A^* \cdot f_{yd}} + \alpha_y \cdot \frac{c_{m,y} \cdot M_{y,Ed} + e_{N,y} \cdot N_{Ed}}{W_y \cdot f_{yd}} + k_z \cdot \frac{c_{m,z} \cdot M_{z,Ed} + e_{N,z} \cdot N_{Ed}}{W_z \cdot f_{yd}} \leq 1 \quad (6.52)$$

Apartado 6.3.4.2. DB-SE-A

$$\frac{N_{Ed}}{\chi_y \cdot A^* \cdot f_{yd}} + k_y \cdot \frac{c_{m,y} \cdot M_{y,Ed} + e_{N,y} \cdot N_{Ed}}{\chi_{LT} W_y \cdot f_{yd}} + \alpha_z \cdot k_z \cdot \frac{c_{m,z} \cdot M_{z,Ed} + e_{N,z} \cdot N_{Ed}}{W_z \cdot f_{yd}} \leq 1 \quad (6.51)$$

Además, sólo en piezas no susceptibles de pandeo por torsión

$$\frac{N_{Ed}}{\chi_z \cdot A^* \cdot f_{yd}} + \alpha_y \cdot k_y \cdot \frac{c_{m,y} \cdot M_{y,Ed} + e_{N,y} \cdot N_{Ed}}{W_y \cdot f_{yd}} + k_z \cdot \frac{c_{m,z} \cdot M_{z,Ed} + e_{N,z} \cdot N_{Ed}}{W_z \cdot f_{yd}} \leq 1 \quad (6.52)$$

Tabla 6.8 Términos de comprobación, según peor clase de sección en la pieza

| Clase | A* | W _y | W _z | α _y | α _z | e _{N,y} |
|-------|------------------|--------------------|--------------------|----------------|----------------|-------------------------|
| 1 | A | W _{pl,y} | W _{pl,z} | 0,6 | 0,6 | 0 |
| 2 | A | W _{pl,y} | W _{pl,z} | 0,6 | 0,6 | 0 |
| 3 | A | W _{el,y} | W _{el,z} | 0,8 | 1 | 0 |
| 4 | A _{eff} | W _{eff,y} | W _{eff,z} | 0,8 | 1 | Según pieza y tensiones |

Apartado 6.3.4.2. DB-SE-A

$$\frac{N_{Ed}}{\chi_y \cdot A^* \cdot f_{yd}} + k_y \cdot \frac{c_{m,y} \cdot M_{y,Ed} + e_{N,y} \cdot N_{Ed}}{\chi_{T,y} \cdot W_y \cdot f_{yd}} + \alpha_z \cdot k_z \cdot \frac{c_{m,z} \cdot M_{z,Ed} + e_{N,z} \cdot N_{Ed}}{W_z \cdot f_{yd}} \leq 1 \quad (6.51)$$

Además, sólo en piezas no susceptibles de pandeo por torsión

$$\frac{N_{Ed}}{\chi_z \cdot A^* \cdot f_{yd}} + \alpha_y \cdot k_y \cdot \frac{c_{m,y} \cdot M_{y,Ed} + e_{N,y} \cdot N_{Ed}}{W_y \cdot f_{yd}} + k_z \cdot \frac{c_{m,z} \cdot M_{z,Ed} + e_{N,z} \cdot N_{Ed}}{W_z \cdot f_{yd}} \leq 1 \quad (6.52)$$

Tabla 6.8 Términos de comprobación, según peor clase de sección en la pieza

| Clase | A* | W _y | W _z | α _y | α _z | e _{N,y} |
|-------|------------------|--------------------|--------------------|----------------|----------------|-------------------------|
| 1 | A | W _{pl,y} | W _{pl,z} | 0,6 | 0,6 | 0 |
| 2 | A | W _{pl,y} | W _{pl,z} | 0,6 | 0,6 | 0 |
| 3 | A | W _{el,y} | W _{el,z} | 0,8 | 1 | 0 |
| 4 | A _{eff} | W _{eff,y} | W _{eff,z} | 0,8 | 1 | Según pieza y tensiones |

Apartado 6.3.4.2. DB-SE-A

$$\frac{N_{Ed}}{\chi_y \cdot A^* \cdot f_{yd}} + k_y \cdot \frac{c_{m,y} \cdot M_{y,Ed} + e_{N,y} \cdot N_{Ed}}{\chi_{LT} W_y \cdot f_{yd}} + \alpha_z \cdot k_z \cdot \frac{c_{m,z} \cdot M_{z,Ed} + e_{N,z} \cdot N_{Ed}}{W_z \cdot f_{yd}} \leq 1 \quad (6.51)$$

Además, sólo en piezas no susceptibles de pandeo por torsión

$$\frac{N_{Ed}}{\chi_z \cdot A^* \cdot f_{yd}} + \alpha_y \cdot k_y \cdot \frac{c_{m,y} \cdot M_{y,Ed} + e_{N,y} \cdot N_{Ed}}{W_y \cdot f_{yd}} + k_z \cdot \frac{c_{m,z} \cdot M_{z,Ed} + e_{N,z} \cdot N_{Ed}}{W_z \cdot f_{yd}} \leq 1 \quad (6.52)$$

Tabla 6.8 Términos de comprobación, según peor clase de sección en la pieza

| Clase | A* | W _y | W _z | α _y | α _z | e _{N,y} |
|-------|------------------|--------------------|--------------------|----------------|----------------|-------------------------|
| 1 | A | W _{pl,y} | W _{pl,z} | 0,6 | 0,6 | 0 |
| 2 | A | W _{pl,y} | W _{pl,z} | 0,6 | 0,6 | 0 |
| 3 | A | W _{el,y} | W _{el,z} | 0,8 | 1 | 0 |
| 4 | A _{eff} | W _{eff,y} | W _{eff,z} | 0,8 | 1 | Según pieza y tensiones |

Apartado 6.3.4.2. DB-SE-A

$$\frac{N_{Ed}}{\chi_y \cdot A^* \cdot f_{yd}} + \alpha_y \cdot k_y \cdot \frac{\eta_{m,y} \cdot M_{y,Ed} + e_{N,y} \cdot N_{Ed}}{\chi_{LT} W_y \cdot f_{yd}} + \alpha_z \cdot k_z \cdot \frac{\eta_{m,z} \cdot M_{z,Ed} + e_{N,z} \cdot N_{Ed}}{W_z \cdot f_{yd}} \leq 1 \quad (6.51)$$

Además, sólo en piezas no susceptibles de pandeo por torsión

$$\frac{N_{Ed}}{\chi_z \cdot A^* \cdot f_{yd}} + \alpha_y \cdot k_y \cdot \frac{\eta_{m,y} \cdot M_{y,Ed} + e_{N,y} \cdot N_{Ed}}{W_y \cdot f_{yd}} + \alpha_z \cdot k_z \cdot \frac{\eta_{m,z} \cdot M_{z,Ed} + e_{N,z} \cdot N_{Ed}}{W_z \cdot f_{yd}} \leq 1 \quad (6.52)$$

Apartado 6.3.4.2. DB-SE-A

$$\frac{N_{Ed}}{\chi_y \cdot A^* \cdot f_{yd}} + k_y \cdot \frac{c_{m,y} \cdot M_{y,Ed} + e_{N,y} \cdot N_{Ed}}{\chi_{LT} W_y \cdot f_{yd}} + \alpha_y \cdot k_z \cdot \frac{c_{m,z} \cdot M_{z,Ed} + e_{N,z} \cdot N_{Ed}}{W_z \cdot f_{yd}} \leq 1 \quad (6.51)$$

Además, sólo en piezas no susceptibles de pandeo por torsión

$$\frac{N_{Ed}}{\chi_z \cdot A^* \cdot f_{yd}} + \alpha_y \cdot k_y \cdot \frac{c_{m,y} \cdot M_{y,Ed} + e_{N,y} \cdot N_{Ed}}{W_y \cdot f_{yd}} + k_z \cdot \frac{c_{m,z} \cdot M_{z,Ed} + e_{N,z} \cdot N_{Ed}}{W_z \cdot f_{yd}} \leq 1 \quad (6.52)$$

Tabla 6.9 Coeficientes de interacción según peor clase de sección en la pieza

| Clase | Tipo de sección | k_y | k_z | k_{yLT} |
|-------|-----------------|--|--|---|
| 1 y 2 | I, H, abiertas | $1 + (\bar{\lambda}_y - 0,2) \cdot \frac{N_{Ed}}{\chi_y N_{C,Rd}}$ | $1 + (2 \cdot \bar{\lambda}_z - 0,6) \cdot \frac{N_{Ed}}{\chi_z N_{C,Rd}}$ | el menor de $1 - \frac{0,1 \cdot \bar{\lambda}_z}{(c_{mLT} - 0,25)} \frac{N_{Ed}}{\chi_z N_{C,Rd}}$ |
| | Hueca delgada | | $1 + (\bar{\lambda}_z - 0,2) \cdot \frac{N_{Ed}}{\chi_z N_{C,Rd}}$ | $0,6 + \bar{\lambda}_z$ |
| 3 y 4 | Todas | $1 + 0,6 \cdot \bar{\lambda}_y \cdot \frac{N_{Ed}}{\chi_y N_{C,Rd}}$ | $1 + 0,6 \cdot \bar{\lambda}_z \cdot \frac{N_{Ed}}{\chi_z N_{C,Rd}}$ | $1 - \frac{0,05 \cdot \bar{\lambda}_z}{(c_{mLT} - 0,25)} \frac{N_{Ed}}{\chi_z N_{C,Rd}}$ |

siendo

$\bar{\lambda}_y$ y $\bar{\lambda}_z$ valores de las esbelteces reducidas para los ejes y – y z – z, no mayores que 1,00.

$$N_{C,Rd} = A^* \cdot \frac{f_y}{\gamma_{M1}}$$

Apartado 6.3.4.2. DB-SE-A

$$\frac{N_{Ed}}{\chi_y \cdot A^* \cdot f_{yd}} + k_y \cdot \frac{c_{m,y} \cdot M_{y,Ed} + e_{N,y} \cdot N_{Ed}}{\chi_{LT} W_y \cdot f_{yd}} + \alpha_y \cdot k_z \cdot \frac{c_{m,z} \cdot M_{z,Ed} + e_{N,z} \cdot N_{Ed}}{W_z \cdot f_{yd}} \leq 1 \quad (6.51)$$

Además, sólo en piezas no susceptibles de pandeo por torsión

$$\frac{N_{Ed}}{\chi_z \cdot A^* \cdot f_{yd}} + \alpha_y \cdot k_y \cdot \frac{c_{m,y} \cdot M_{y,Ed} + e_{N,y} \cdot N_{Ed}}{W_y \cdot f_{yd}} + k_z \cdot \frac{c_{m,z} \cdot M_{z,Ed} + e_{N,z} \cdot N_{Ed}}{W_z \cdot f_{yd}} \leq 1 \quad (6.52)$$

Tabla 6.9 Coeficientes de interacción según peor clase de sección en la pieza

| Clase | Tipo de sección | k_y | k_z | k_{yLT} |
|-------|-----------------|--|--|---|
| 1 y 2 | I, H, abiertas | $1 + (\bar{\lambda}_y - 0,2) \cdot \frac{N_{Ed}}{\chi_y N_{C,Rd}}$ | $1 + (2 \cdot \bar{\lambda}_z - 0,6) \cdot \frac{N_{Ed}}{\chi_z N_{C,Rd}}$ | el menor de $1 - \frac{0,1 \cdot \bar{\lambda}_z}{(c_{mLT} - 0,25)} \frac{N_{Ed}}{\chi_z N_{C,Rd}}$ |
| | Hueca delgada | | $1 + (\bar{\lambda}_z - 0,2) \cdot \frac{N_{Ed}}{\chi_z N_{C,Rd}}$ | $0,6 + \bar{\lambda}_z$ |
| 3 y 4 | Todas | $1 + 0,6 \cdot \bar{\lambda}_y \cdot \frac{N_{Ed}}{\chi_y N_{C,Rd}}$ | $1 + 0,6 \cdot \bar{\lambda}_z \cdot \frac{N_{Ed}}{\chi_z N_{C,Rd}}$ | $1 - \frac{0,05 \cdot \bar{\lambda}_z}{(c_{mLT} - 0,25)} \frac{N_{Ed}}{\chi_z N_{C,Rd}}$ |

siendo

$\bar{\lambda}_y$ y $\bar{\lambda}_z$ valores de las esbelteces reducidas para los ejes y – y z – z, no mayores que 1,00.

$$N_{C,Rd} = A^* \cdot \frac{f_y}{\gamma_{M1}}$$

Apartado 6.3.4.2. DB-SE-A

$$\frac{N_{Ed}}{\chi_y \cdot A^* \cdot f_{yd}} + k_y \cdot \frac{c_{m,y} \cdot M_{y,Ed} + e_{N,y} \cdot N_{Ed}}{\chi_{LT} W_y \cdot f_{yd}} + \alpha_z \cdot k_z \cdot \frac{c_{m,z} \cdot M_{z,Ed} + e_{N,z} \cdot N_{Ed}}{W_z \cdot f_{yd}} \leq 1 \quad (6.51)$$

Además, sólo en piezas no susceptibles de pandeo por torsión

$$\frac{N_{Ed}}{\chi_z \cdot A^* \cdot f_{yd}} + \alpha_y \cdot k_y \cdot \frac{c_{m,y} \cdot M_{y,Ed} + e_{N,y} \cdot N_{Ed}}{W_y \cdot f_{yd}} + k_z \cdot \frac{c_{m,z} \cdot M_{z,Ed} + e_{N,z} \cdot N_{Ed}}{W_z \cdot f_{yd}} \leq 1 \quad (6.52)$$

Apartado 6.3.4.2. DB-SE-A

$$\frac{N_{Ed}}{\chi_y \cdot A^* \cdot f_{yd}} + k_y \frac{c_{m,y} \cdot M_{y,Ed} + e_{N,y} \cdot N_{Ed}}{\chi_{LT} W_y \cdot f_{yd}} + \alpha_z \cdot k_z \frac{c_{m,z} \cdot M_{z,Ed} + e_{N,z} \cdot N_{Ed}}{W_z \cdot f_{yd}} \leq 1 \quad (6.51)$$

Además, sólo en piezas no susceptibles de pandeo por torsión

$$\frac{N_{Ed}}{\chi_z \cdot A^* \cdot f_{yd}} + \alpha_y \cdot k_y \frac{c_{m,y} \cdot M_{y,Ed} + e_{N,y} \cdot N_{Ed}}{W_y \cdot f_{yd}} + k_z \frac{c_{m,z} \cdot M_{z,Ed} + e_{N,z} \cdot N_{Ed}}{W_z \cdot f_{yd}} \leq 1 \quad (6.52)$$

Apartado 6.3.4.2. DB-SE-A

$$\frac{N_{Ed}}{\chi_y \cdot A^* \cdot f_{yd}} + k_y \frac{c_{m,y} \cdot M_{y,Ed} + e_{N,y} \cdot N_{Ed}}{\chi_{LT} W_y \cdot f_{yd}} + \alpha_z \cdot k_z \frac{c_{m,z} \cdot M_{z,Ed} + e_{N,z} \cdot N_{Ed}}{W_z \cdot f_{yd}} \leq 1 \quad (6.51)$$

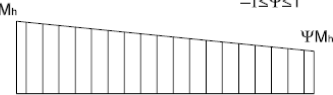
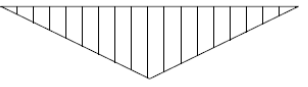
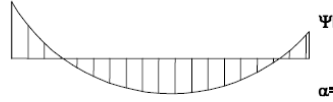

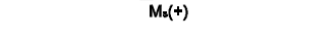
Además, sólo en piezas no susceptibles de pandeo por torsión

$$\frac{N_{Ed}}{\chi_z \cdot A^* \cdot f_{yd}} + \alpha_y \cdot k_y \frac{c_{m,y} \cdot M_{y,Ed} + e_{N,y} \cdot N_{Ed}}{W_y \cdot f_{yd}} + k_z \frac{c_{m,z} \cdot M_{z,Ed} + e_{N,z} \cdot N_{Ed}}{W_z \cdot f_{yd}} \leq 1 \quad (6.52)$$

Tabla 6.10 Coeficientes del momento equivalente

| Factor de momento flector | Eje de flexión | Puntos arriostrados en dirección |
|---------------------------|----------------|----------------------------------|
| $c_{m,y}$ | y-y | z - z |
| $c_{m,z}$ | z - z | y-y |
| $c_{m,LT}$ | y - y | y-y |

| Diagrama de Flectores | Factor de momento uniforme equivalente |
|-----------------------|--|
| | $c_{m,i} = c_{m,i} (i = y)$ |
| | $c_{m,i} = c_{m,i} (i = z)$ |
| | $c_{m,i} = c_{m,i} (i = LT)$ |

| | |
|---|---|
| <p>Momentos de extremo $-1 \leq \psi \leq 1$</p>  | $c_{m,i} = 0,6 + 0,4 \cdot \psi \geq 0,4$ |
| <p>Momento debido a cargas laterales coplanarias</p>  | $c_{m,i} = 0,9$ |
| <p>Momentos debidos a cargas laterales y momentos de extremos</p>  <p>$\alpha = M_w/M_h$</p>  <p>$\alpha_h = M_h/M_w$</p> | $c_{m,i} = 0,1 - 0,8 \cdot \alpha \geq 0,4$ si $-1 \leq \alpha \leq 0$ $c_{m,i} = 0,2 + 0,8 \cdot \alpha \geq 0,4$ si $0 \leq \alpha \leq 1$ |
|  | $c_{m,i} = 0,95 + 0,05 \cdot \alpha_h$ con $-1 \leq \alpha_h \leq 1$ |

Apartado 6.3.4.2. DB-SE-A

$$\frac{N_{Ed}}{\chi_y \cdot A^* \cdot f_{yd}} + k_y \cdot \frac{c_{m,y} \cdot M_{y,Ed} + e_{N,y} \cdot N_{Ed}}{\chi_{LT} W_y \cdot f_{yd}} + \alpha_z \cdot k_z \cdot \frac{c_{m,z} \cdot M_{z,Ed} + e_{N,z} \cdot N_{Ed}}{W_z \cdot f_{yd}} \leq 1 \quad (6.51)$$

Además, sólo en piezas no susceptibles de pandeo por torsión

$$\frac{N_{Ed}}{\chi_z \cdot A^* \cdot f_{yd}} + \alpha_y \cdot k_y \cdot \frac{c_{m,y} \cdot M_{y,Ed} + e_{N,y} \cdot N_{Ed}}{W_y \cdot f_{yd}} + k_z \cdot \frac{c_{m,z} \cdot M_{z,Ed} + e_{N,z} \cdot N_{Ed}}{W_z \cdot f_{yd}} \leq 1 \quad (6.52)$$

OpenCourseWare

Teoría de Estructuras y Construcciones Industriales

Carlos Santiuste Romero, Sara Garzón Hernández, Liu Jiao Wang,
Manuel Cuadrado Sanguino, Luis Jiménez Girón, Daniel Herrero Adán

CTE: Dimensionado de barras a flexocompresión

